

黑潮和风应力对东中国海环流的作用*

刘凤树

(中国科学院海洋研究所)

我们曾基于底摩应力涡度、行星涡度和风应力涡度的平衡方程，在黑潮（边界力（奚盘根等，1980；冯士维等，1981。））可变海底地形的作用下，研究了东中国海环流的可能成因（刘凤树等，1984）。指出，东中国海环流的形成主要是黑潮作用的结果，风的效应仅起调节作用。本文再根据侧向应力涡度方程，分别研究风应力和黑潮对形成东中国海环流的作用。

一、模式

假定考察的海域是等深的正压海，忽略非线性和底摩项，在定常运动的情况下全流方程组为：

$$A_1 \nabla^2 q_x + -\frac{\tau_x}{\rho} + f q_y \\ = g h \frac{\partial \xi}{\partial x} \quad (1)$$

$$A_1 \nabla^2 q_y + \frac{\tau_y}{\rho} - f q_x \\ = g h \frac{\partial \xi}{\partial y} \quad (2)$$

$$\frac{\partial q_x}{\partial x} + \frac{\partial q_y}{\partial y} = 0 \quad (3)$$

$$q_x = \int_0^h u dz \quad q_y = \int_0^h v dz$$

这里， q_x 、 q_y 和 τ_x 、 τ_y 分别为 x 、 y 轴上全流分量和风应力分量； ξ 为水位； f 为科氏参量； g 为重力加速度； A_1 为水平粘滞系数； ρ 为海水密度； h 为水深； ∇^2 为拉普拉斯算子。

1. 风应力效应

对方程式（1）和（2）交叉微分，并引入全流函数：

$$q_x = -\frac{\partial \psi}{\partial y} \quad q_y = \frac{\partial \psi}{\partial x} \quad (4)$$

则得侧向涡度和风应力涡度平衡方程如下：

$$\nabla^2 \psi = -\frac{1}{A_1} rot_z \tau \quad (5)$$

假定东中国海类似扇形海域，在极坐标系中，取极角 θ 由北向南顺时针方向为正。进行坐标变换：

$$r = r_1 e^\xi \quad \theta = \theta \quad (6)$$

则方程式（5）又可化为：

$$\left(\frac{\partial^2}{\partial \xi^2} + \frac{\partial^2}{\partial \theta^2} \right)^2 \psi \\ = -\frac{r_1^4 e^4}{A_1} rot_z \tau(\xi, \theta) \quad (7)$$

方程式（7）满足在岸界全流为零，在水界有水量交换的自由边界条件：

$$\psi \Big|_{\xi=0} = 0, \quad \frac{\partial \psi}{\partial \xi} \Big|_{\xi=0} = 0; \\ \psi \Big|_{\xi=\beta=0} = 0, \quad \frac{\partial \psi}{\partial \xi} \Big|_{\xi=\beta=0} = 0; \\ (0 \leq \theta \leq \theta_2)$$

* 中国科学院海洋研究所调查研究报告 第 1155 号。本文承于克俊同志协助，特此致谢。

$$\begin{aligned} \frac{\partial \psi}{\partial \xi} \Big|_{\xi=\beta=0} &= 0, \quad \frac{\partial^3 \psi}{\partial \xi^3} \Big|_{\xi=\beta=0} = 0; \\ (\theta_2 \leq \theta \leq \theta_1) \quad \psi \Big|_{\theta=0} &= 0, \quad \frac{\partial^2 \psi}{\partial \theta^2} \Big|_{\theta=0} = 0; \\ \frac{\partial \psi}{\partial \theta} \Big|_{\theta=\theta_1} &= 0, \quad \frac{\partial^3 \psi}{\partial \theta^3} \Big|_{\theta=\theta_1} = 0 \end{aligned} \quad (8)$$

采用有限Fourier变换求方程式(7)满足
边界条件(8)的解:

$$\begin{aligned} \tilde{\psi} &= \int_0^{\theta_1} \psi \sin \lambda_n \theta d\theta \quad (9) \\ \psi &= -\frac{2}{\theta_1} \sum_{n=1}^{\infty} \tilde{\psi} \sin \lambda_n \theta \end{aligned}$$

(10)

$$\lambda_n = (n - 1/2) \frac{\pi}{\theta_1}$$

代入方程式(7)得:

$$\begin{aligned} \frac{d^4 \tilde{\psi}}{d\xi^4} - 2\lambda_n^2 \frac{d^2 \tilde{\psi}}{d\xi^2} + \lambda_n^4 \tilde{\psi} \\ = -\frac{2r_1^4 e^{4\xi}}{A_i \lambda_n} \tau_{m_\theta} \end{aligned} \quad (11)$$

这里 $rot_z \tau \approx 2 \tau_{m_\theta}$

令:

$$\left(\frac{d}{d\xi} - \lambda_n \right) \tilde{\psi} = \eta \quad (12)$$

(12) 式满足边界条件:

$$\tilde{\psi} \Big|_{\xi=0} = 0, \quad \frac{\partial \tilde{\psi}}{\partial \xi} \Big|_{\xi=0} = 0 \quad \text{的解为}$$

$$\tilde{\psi} = \int_0^{\xi} \eta \operatorname{sh} \lambda_n (\xi - \xi_1) d\xi_1 \quad (13)$$

将(13)代入(11)式中得:

$$\eta = A e^{\lambda_n \xi} + B e^{-\lambda_n \xi} -$$

$$F \left\{ \lambda_n e^{4\xi} - \frac{1}{2} (4 + \lambda_n) e^{\lambda_n \xi} \right. \\ \left. + \frac{1}{2} (4 - \lambda_n) e^{-\lambda_n \xi} \right\} \quad (14)$$

$$F = \frac{2 \tau_{m_\theta} r_1^4}{A_i \lambda_n^2 (16 - \lambda_n^2)}$$

将(14)式代入(13)式得解:

$$\tilde{\psi} = A \Phi_1(\xi) + B \Phi_2(\xi) - F_1(\xi) \quad (15)$$

$$\Phi_1(\xi) = \xi e^{\lambda_n \xi} - \frac{1}{\lambda_n} \operatorname{sh} \lambda_n \xi$$

$$\begin{aligned} \Phi_2(\xi) &= \frac{1}{\lambda_n} \operatorname{sh} \lambda_n \xi - \xi e^{-\lambda_n \xi} \\ F_1(\xi) &= F (\lambda_n e^{4\xi} - 4 \operatorname{sh} \lambda_n \xi) \frac{1}{16 - \lambda_n^2} \end{aligned}$$

根据边界条件(8)可求出系数A, B。

(1) 在 $0 \leq \theta \leq \theta_2$ 区间 ($\theta_2 = 35^\circ$)

$$D = \begin{vmatrix} \Phi_1(\beta) & \Phi_2(\beta) \\ \Phi'_1(\beta) & \Phi'_2(\beta) \end{vmatrix}$$

$$AD = \begin{vmatrix} F_1 & \Phi_2(\beta) \\ F'_1 & \Phi'_2(\beta) \end{vmatrix}$$

$$BD = \begin{vmatrix} \Phi_1(\beta) & F_1 \\ \Phi'_1(\beta) & F'_1 \end{vmatrix}$$

(2) 在 $\theta_2 \leq \theta \leq \theta_1$ 区间 ($\theta_1 = 70^\circ$)

$$D = \begin{vmatrix} \Phi'_1(\beta) & \Phi'_2(\beta) \\ \Phi''_1(\beta) & \Phi''_2(\beta) \end{vmatrix}$$

$$AD = \begin{vmatrix} F'_1 & \Phi'_2(\beta) \\ F''_1 & \Phi''_2(\beta) \end{vmatrix}$$

$$BD = \begin{vmatrix} \Phi'_1(\beta) & F'_1 \\ \Phi''_1(\beta) & F''_1 \end{vmatrix}$$

$$(\Phi'_{1,2}, \Phi''_{1,2}) = \left(\frac{d\Phi_{1,2}}{d\xi}, \frac{d^3\Phi_{1,2}}{d\xi^3} \right)_{\xi=\beta}$$

$$(F'_1, F''_1) = \left(\frac{dF_1}{d\xi}, \frac{d^3F_1}{d\xi^3} \right)_{\xi=\beta}$$

将(15)式代入(10)中, 得出由风应力涡度引起模型海区的环流模式:

$$\begin{aligned}\psi = & \frac{2}{\theta_1} \sum_{n=1}^M \left\{ A \Phi_1(\xi) + B \Phi_2(\xi) - \right. \\ & \left. - F_1 \right\} \times \sin \lambda_n \theta \\ & + \frac{4}{\theta_1} \sum_{n=M+1}^{\infty} \frac{r_1^4 \tau_m \theta}{A_1 \lambda_n^5} e^{4\xi} \sin \lambda_n \theta\end{aligned}\quad (16)$$

2. 黑潮的效应

在没有风应力作用的情况下 ($\tau_r = \tau_\theta = 0$), 方程式 (11) 化为:

$$\left(\frac{\partial^2}{\partial \xi^2} + \frac{\partial^2}{\partial \theta^2} \right)^2 \psi = 0 \quad (17)$$

这一运动仅在边界值 $|\Psi_r|$ 的作用下产生。它满足如下边界条件:

$$\begin{aligned}\psi \Big|_{\xi=0} &= 0, \quad \frac{\partial \psi}{\partial \xi} \Big|_{\xi=0} = 0 \\ \psi \Big|_{\xi=\beta} &= \begin{cases} 0 & \theta < \theta_2 \\ |\Psi_r| & \theta > \theta_2, \end{cases} \\ \frac{\partial \psi}{\partial \xi} \Big|_{\xi=\beta} &= 0; \\ \psi \Big|_{\theta=0} &= 0, \quad \frac{\partial^2 \psi}{\partial \theta^2} \Big|_{\theta=0} = 0; \\ \frac{\partial \psi}{\partial \theta} \Big|_{\theta=\theta_1} &= 0, \quad \frac{\partial^3 \psi}{\partial \theta^3} \Big|_{\theta=\theta_1} = 0\end{aligned}\quad (18)$$

作一函数使边界条件齐次化, 令:

$$\psi = \psi_0 + \psi_b \quad (19)$$

$$\psi_b = \left(\frac{4}{\beta^3} - \frac{3\xi}{\beta^4} \right) \xi^3 \psi \Big|_{\xi=\beta} \quad (20)$$

将 (19) 式代入 (17) 得:

$$\left(\frac{\partial^2}{\partial \xi^2} + \frac{\partial^2}{\partial \theta^2} \right)^2 \psi_0 = \frac{72}{\beta^4} \psi \Big|_{\xi=\beta} \quad (21)$$

方程式 (21) 的解法同前, 得解:

$$\begin{aligned}\psi_0 &= A_0 \Phi_1(\xi) + B_0 \Phi_2(\xi) \\ &+ \frac{\Gamma}{\lambda_n^3} (1 - ch \lambda_n \xi)\end{aligned}\quad (22)$$

$$\Gamma = \frac{72}{\beta^4} \left| \Psi_r \right| \cos \lambda_n \theta_2$$

$\Phi_1(\xi)$, $\Phi_2(\xi)$ 的表示式与前同。系数 A_0 , B_0 由边界条件 (18) 给出:

$$\begin{aligned}D_0 &= \begin{vmatrix} \Phi_1(\beta) & \Phi_2(\beta) \\ \Phi'_1(\beta) & \Phi'_2(\beta) \end{vmatrix} \\ A_0 D_0 &= \begin{vmatrix} \frac{\Gamma}{\lambda_n^3} (ch \lambda_n \beta - 1) \Phi_2(\beta) \\ -\frac{\Gamma}{\lambda_n^2} sh \lambda_n \beta & \Phi'_2(\beta) \end{vmatrix}\end{aligned}$$

$$B_0 D_0 = \begin{vmatrix} \Phi_1(\beta) & -\frac{\Gamma}{\lambda_n^3} (ch \lambda_n \beta - 1) \\ \Phi'_1(\beta) & -\frac{\Gamma}{\lambda_n^2} sh \lambda_n \beta \end{vmatrix}$$

由此获得在边界 $|\Psi_r|$ 作用下所导致的模型海区的环流模式如下:

$$\begin{aligned}\psi &= \left(\frac{4}{\beta^3} - \frac{3\xi}{\beta^4} \right) \xi^3 \psi \Big|_{\xi=\beta} \\ &+ \frac{2}{\theta_2} \sum_{n=1}^M \left\{ A_0 \Phi_1(\xi) + B_0 \Phi_2(\xi) \right. \\ &\left. + \frac{\Gamma}{\lambda_n^3} (1 - ch \lambda_n \xi) \right\} \sin \lambda_n \theta \\ &+ \frac{2}{\theta_1} \sum_{n=M+1}^{\infty} \frac{72}{\beta^4 \lambda_n^5} \\ &\times \left| \Psi_r \right| \cos \lambda_n \theta_2 \sin \lambda_n \theta\end{aligned}\quad (23)$$

二、计算结果

取如下参数分别对风生环流模式 (16) 和边界值作用下所导致的环流 (23) 进行计算。
 $r_1 = 8.5 \times 10^7 \text{ cm}$, $A_1 = 10^8 \text{ cm}^2/\text{s}$, $\theta_2 = 35^\circ$,
 $\theta_1 = 70^\circ$, $|\Psi_r| = 30 \times 10^{12} \text{ cm}^3/\text{s}$, 冬季 $\tau_{m\theta} = 2.04 \text{ g/cm}^2$, 夏季 $\tau_{m\theta} = -0.4 \text{ g/cm}^2$, $\beta = 0.56$ 。

1. 风生环流

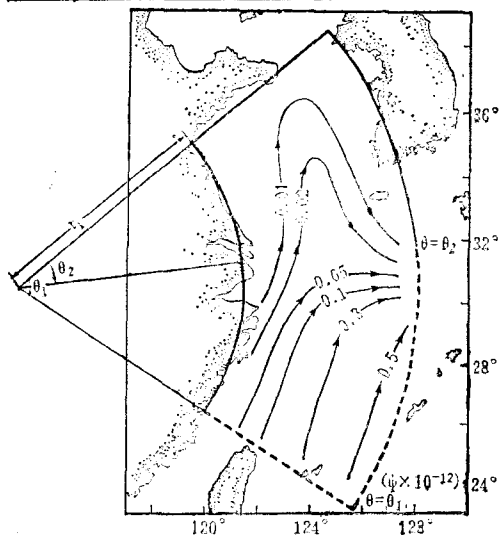


图1 冬季(1月)风生环流(计算值)
—为岸界; ...为水界。

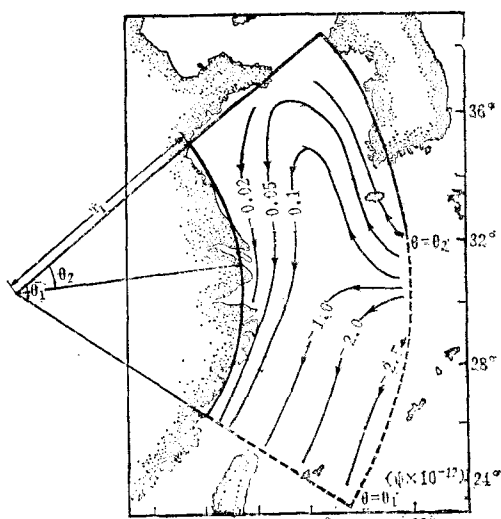


图2 夏季(7月)风生环流(计算值)
—为岸界; ...为水界。

由图1可见：一支海流沿海区东部边界经济州岛和朝鲜半岛西岸进入黄海，后沿海区西部边界南流，经台湾海峡进入南海；另一支则向西南流动，在杭州湾外海 124°E 汇合沿岸南流。这支流的强度较前者约大两个量级 ($\psi \sim 10^{12} \text{cm}^3/\text{s}$)。

在夏季(7月)，整个考察海区的流场分布趋势与冬季相反(见图2)，但其量值较冬季小一个量级 ($\psi \sim 10^6 \text{cm}^3/\text{s}$)。

如果将这一结果与 Byung Hochoi (1982) 基于二维非线性流体力学模式的数值研究结果相较，可以看出，在冬季则与北风(N)场作用下的流场分布相吻合；在夏季则与西南风(SW)场作用下的流场分布相一致。

2. 黑潮所导致的环流

假定冬、夏两季黑潮的流量是不变的，则据公式(23)计算的结果表明，在 30°N 以北的黄海区有一逆时针环流区，其中心约在 $34^{\circ}\text{N}, 124^{\circ}\text{E}$ 附近，中心最大值 $|\psi| \sim 2.5 \times 10^{12} \text{cm}^3/\text{s}$ 。在东海区则有一股由台湾海峡和以东海区(黑潮区)向东北流动，流速由海岸向外海递增，并在 31°N 附近辐聚，它恰与黑潮流轴相吻合(图3)。

风生环流的流函数比黑潮所引起的小1—2个量级，可见风对环流的影响仅起调节作用。

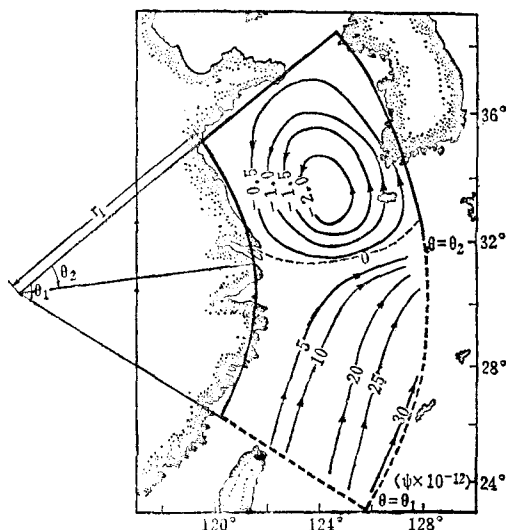


图3 黑潮所引起的环流(计算值)
—为岸界; ...为水界。

THE ACTION OF WIND STRESS AND KUROSHIO SYSTEM ON THE CIRCULATION IN THE EAST CHINA SEA

Liu Fengshu

(Institute of Oceanology, Academia Sinica)

Abstract

The circulation in the East China Sea is described by using the balance equation of wind stress curl and lateral stress curl. Analysis shows that the Kuroshio system plays a determinant role and the wind stress only acts as an adjustment factor in generation of the circulation.